

Научная статья

УДК 159.9

doi

Эмоциональная валентность зрительных сцен: существует ли связь спонтанной электрической активности головного мозга и гена COMT?

Екатерина М. Ковш¹, Виталий В. Бабенко¹, Александр С. Столетний¹,
Павел Н. Ермаков¹, Денис В. Явна¹, Екатерина Г. Денисова²,
Константин А. Гапченко¹

¹ Южный федеральный университет, Ростов-на-Дону, Российская Федерация

² Донской государственный технический университет, Ростов-на-Дону,
Российская Федерация

*Почта ответственного автора: emkovsh@sedu.ru

Аннотация

Введение. Распознавание эмоционального контекста зрительных сцен является на сегодняшний день значимым компонентом успешной социально-психологической адаптации человека к различным условиям реальной и виртуальной жизни. В то же время данных о генетических факторах, ассоциированных с нейробиологическими механизмами пространственно-временных паттернов электрических потенциалов мозга, сопровождающих процесс дифференциации эмоциональной валентности зрительных сцен, на сегодняшний день недостаточно. Ген катехол-О-метилтрансферазы COMT связан с продолжительностью пребыванияmonoаминов в синаптической щели, а также с длительностью и интенсивностью эмоциональных реакций; генотипы по полиморфному локусу Val158Met (rs4680) ассоциированы с разными особенностями эмоциональной и познавательной сфер их носителей (тревожностью, когнитивным контролем и проч.). Целью нашего исследования явилось изучение характеристик спонтанной электрической активности головного мозга у носителей различных генотипов гена COMT при решении задач на определение эмоциональной валентности зрительных сцен. **Методы.** Для достижения поставленной цели мы использовали генетический (выделение

Екатерина М. Ковш, Виталий В. Бабенко ... Константин А. Гапченко

Эмоциональная валентность зрительных сцен: существует ли связь спонтанной электрической активности головного мозга и гена COMT?

Российский психологический журнал, 21(3), 2024

ПСИХОФИЗИОЛОГИЯ

ДНК из клеток буккального соскоба, генотипирование), электрофизиологический (регистрация ЭЭГ в 128 отведениях), поведенческий (исследование точности распознавания эмоциональной валентности зрительных сцен) и статистический (спектральный, когерентный анализ ЭЭГ; ANOVA; Kruskal-Wallis Test; Dunn's Post Hoc Comparisons для анализа поведенческих данных) методы. **Результаты.** Анализ данных ЭЭГ, полученных при делении на генотипы, показал наличие связи между генотипами генов COMT и спектральными характеристиками ЭЭГ. Анализ точности оценки эмоциональной валентности зрительных сцен у носителей разных генотипов гена COMT показал наличие ассоциации гена COMT с точностью решения этой задачи. **Обсуждение результатов.** Полученные результаты дополняют и расширяют имеющиеся данные о связи гена катехол-О-метилтрансферазы с характеристиками спонтанной электрической активности головного мозга, а также с успешностью решения задач на определение эмоциональной валентности зрительных сцен.

Ключевые слова

ЭЭГ, зрительные сцены, эмоциональная валентность, эмоции, ген COMT, катехол-О-метилтрансфераза, функциональная связность

Финансирование

Исследование выполнено при финансовой поддержке Российского научного фонда (РНФ) в рамках научного проекта № 20-64-47057.

Для цитирования

Ковш, Е. М., Бабенко, В.В., Столетний, А. С., Ермаков, П. Н., Явна, Д. В., Денисова, Е. Г., Гапченко, К. А. (2024). Эмоциональная валентность зрительных сцен: существует ли связь спонтанной электрической активности головного мозга и гена COMT? *Российский психологический журнал*, 21(3), 0-0. doi

Введение

Сцена как совокупность зрительных образов представляет особенный научный интерес ввиду своей естественности: в повседневной жизни мы чаще встречаемся именно со сценами; а также эволюционной значимости: сцена как совокупность стимулов несет информацию не только об изображенных на ней объектах, но также об их отношениях и контекстах, в которые они помещены (Ermakov et al., 2022). Категоризация сцен относится также и к фундаментальным проблемам машинного распознавания образов (computer vision). Вслед за Xiao J. с соавт. мы понимаем под сценой место, в пространстве которого человек может актуально или потенциально располагаться и действовать (Xiao et al., 2010).

Несмотря на широкую распространенность исследований, направленных на изучение нейрофизиологических аспектов восприятия эмоционально окрашенных стимулов, интерес к ним не угас: изучение пространственно-временных паттернов электрических потенциалов мозга, характерных для каждого эмоционального состояния, используется на сегодняшний день для усовершенствования сферы человекомашинных технологий (BCI). Так, при помощи глубоких нейросетей, а также искусственных нейронных сетей автоэнкодеров (Deep Neural Network and Sparse Autoencoder) на основе электроэнцефалографических показателей составлены и дополняются базы данных физиологических сигналов, характерных для распознавания эмоций (Liu et al., 2020); исследуется влияние физических параметров зрительных стимулов на успешность распознавания их эмоционального контекста и отражение данных процессов в параметрах ЭЭГ (Babenko et al., 2022).

За прошедшие годы широко описаны ЭЭГ-индикаторы интенсивности (arousal/intensity) и валентности (valence) эмоциональных реакций человека в норме и патологии, а также электрофизиологические корреляты мотивационной значимости эмоционально окрашенных стимулов. Согласно результатам исследования Frantzidis C.A. et al. (2010), надежность классификации объективных эмоциональных показателей (различие эмоциональных состояний по сигналам ЭЭГ) составляет около 80%.

В последнее время особенное внимание уделяется изучению микросостояний ЭЭГ (EEG microstates), отражающих временную (миллисекундную) динамику обработки сложных эмоционально окрашенных стимулов и выступающих нейрофизиологическими коррелятами социально-аффективного сознания (socio-affective mind) (Schiller et al., 2023); совершенствуются подходы к математической обработке полученных ЭЭГ-данных (например, InvBase method, включающий коррекцию базовой линии (baseline power removal) (Ahmed et al., 2023)).

Безусловно, физиологический ответ на предъявление эмоционально окрашенного стимула куда более сложный и включает в себя ряд физиологических сдвигов в деятельности сердечно-сосудистой, дыхательной, эндокринной и других систем организма (Лапин, Алфимова, 2014). На сегодняшний день получают все большее распространение междисциплинарные исследования, результатом которых является создание мультимодальных баз данных, включающих в свой состав ряд психологических и физиологических параметров (личностные черты, физиологические показатели, успешность распознавания эмоционально окрашенных стимулов и проч.), среди них базы данных ASCERTAIN (Subramanian et al., 2018); K-EmoCon (Park et al., 2020); DREAMER (Katsigiannis & Ramzan, 2018), DEAP (Koelstra et al., 2012), GAMEEMO (Alakus et al., 2020) и другие (Liu et al., 2020; Seal et al., 2020).

В то же время данных о генетических факторах, оказывающих влияние на определение эмоциональной валентности стимулов, на сегодняшний день недостаточно. Вместе с этим в рамках заявленной темы среди прочих интерес может представлять генmonoаминергической системы, экспрессирующийся в

лимбические и стриопаллидарные структуры, а также префронтальные зоны коры головного мозга (Arnsten et al., 2015), отвечающий за познавательные процессы, эмоциональные реакции, исследовательское поведение: COMT (rs4680) влияет на активность ферментов, расщепляющих моноамины (Tunbridge et al., 2006; 2019) и взаимосвязан с работой гормональных систем (Jacobs & D'Esposito, 2011; Louis et al., 2023). Аллель Val ассоциируют с более выраженной когнитивной гибкостью, позволяющей интегрировать новые релевантные стимулы; аллель Met – сустойчивым и целенаправленным вниманием, а также с особенностями функциональной связности между структурами лимбической системы (гиппокампом, миндалиной) и префронтальной корой (Morris et al., 2020). На физиологическом уровне это влияние распространяется на процессы возбуждения и торможения в центральной нервной системе.

Целью нашего исследования явилось изучение пространственно-временного паттерна электрических потенциалов мозга (а именно – характеристик спонтанной электрической активности головного мозга, регистрируемой при решении задач на определение эмоциональной валентности зрительных сцен) у носителей различных генотипов гена катехол-О-метилтрансферазы COMT.

Методы

Банк зрительных стимулов (360 изображений) был сформирован методом экспертов оценок посредством распределения изображений, взятых из сети Интернет, по трем группам, в зависимости от их эмоциональной валентности (по 120 стимулов в каждой): нейтральные, позитивные, негативные. Зрительные стимулы были уравнены по параметрам углового размера, средней яркости и RMS контраста.

В исследовании приняли участие 87 человек (европейцы, женщин 63%, мужчин 37%, средний возраст $20,44 \pm 2,6$ лет), студенты Южного федерального и Донского государственного технического университетов. Все они письменно подтвердили свое добровольное согласие на участие в исследовании; были адаптированы к условиям его проведения, а также заявили об отсутствии у них неврологических и психических заболеваний. Исследования проводились в соответствии с требованиями комиссии по этике Южного федерального университета и выполнялось с соблюдением этических норм в соответствии с The Code of Ethics of the World Medical Association (Declaration of Helsinki).

В ходе эксперимента участникам в случайной последовательности предъявлялось 360 стимулов в виде зрительных сцен разной эмоциональной валентности. Длительность предъявления каждого очередного стимула составляла 700 мс. За это время испытуемый должен был определить валентность сцены и выбрать в качестве ответа один из трех возможных вариантов (позитивная, нейтральная или негативная сцена). Чтобы ознакомить участников с процедурой и убедиться, что они

правильно поняли задание, предварительно проводилось несколько обучающих проб. Образы, использованные в обучении, не использовались в основном эксперименте. В течение всего эксперимента у участников регистрировалась ЭЭГ по 128 отведениям в диапазоне частот от 0,5 до 35 Гц.

При подготовке записи каждого участника к последующему анализу ЭЭГ проводилось удаление артефактов с помощью анализа независимых компонентов (ICA). Несмотря на указанную процедуру, из дальнейшего анализа пришлось исключить записи 2 участников ввиду сильной зашумленности ЭЭГ. В результате для дальнейшей обработки использовались данные 85 человек.

На следующем этапе подготовки ЭЭГ была произведена нарезка эпох относительно меток подачи стимулов. Длительность эпох составляла от -1000 мс до +1000 мс относительно метки. С помощью визуальной проверки были удалены эпохи, которые все еще содержали артефакты. Оставшиеся отрезки ЭЭГ группировались в три набора, в соответствии с валентностью стимула.

Для осуществления дальнейшего анализа в каждой корзине для каждого участника были сформированы по две сплошные эпохи, состоящие из предстимульных и постстимульных отрезков.

Весь подготовительный этап был осуществлен с помощью пакета функций EEGLAB версии 2022.0 в программе для численных расчетов и инженерной математики MATLAB версии R2021a (The MathWorks Inc.: Natick, MA, USA). Экспорт данных для обработки ЭЭГ в другом программном обеспечении осуществлялся с помощью Matlab-скриптов, написанных в лаборатории ЮФУ.

Обработка ЭЭГ включала спектральный и когерентный анализ. Вычисления проводились в 4 частотных диапазонах: 0,5-4 Гц (дельта), 4-8 Гц (тета), 8-13 Гц (альфа) и 13-25 Гц (бета). Статистический анализ проводился путем попарных сравнений с применением однофакторного дисперсионного анализа с повторными измерениями (one-way ANOVA) при уровне значимости $p \leq 0,01$. Для решения этой задачи была использована программа для математико-статистических расчетов Statistica 12 (TIBCO).

Спектральный анализ предусматривал определение для каждой валентности амплитудных спектров в предстимульной и постстимульной ЭЭГ, последующее вычисление в каждом из 128 отведений разностных спектров в четырех диапазонах частот, а затем их статистическое сравнение.

Когерентный анализ был направлен на определение корреляции спектральной мощности ЭЭГ в каждом из частотных диапазонов между 19 отведениями, которые соответствуют стандартной схеме 10x20 (число используемых отведений было уменьшено с целью сокращения проверяемых связей до приемлемых величин). Топографическое распределение когерентных связей вычислялось отдельно для предстимульной и постстимульной ЭЭГ, после чего определялась разница между картами.

И спектральный, и когерентный анализ были выполнены с применением оконной функции Ханна (4-секундная эпоха анализа с 50% перекрытием) для минимизации утечек на границах соединяемых отрезков ЭЭГ.

При обработке поведенческих данных для стимулов каждой валентности было определено количество правильных узнаваний и «ложных тревог», после чего рассчитывался показатель чувствительности (sensitivity index) – d' . Для расчёта d' использовалась функция PAL_SDT_1AFC_PHFtoDP из Palamedes toolbox (Prins & Kingdom, 2018). Для межгрупповых сравнений показателей чувствительности у носителей разных генотипов гена COMT использовался тест Краскела-Уоллеса. В качестве post hoc процедуры применялся тест Данна с поправкой Холма на множественные сравнения. Статистическая обработка полученных результатов осуществлялась с применением свободно распространяемого программного пакета JASP Computer software (Version 0.16, 2021).

Генетический анализ проводился на базе лаборатории медицинской генетики ФГБОУ ВО РостГМУ Минздрава России (г. Ростов-на-Дону), включал экстракцию ДНК из клеток буккального соскоба и ПЦР. Был исследован полиморфный локус Val158Met гена COMT (472A>G, rs4680), определены генотипы, - Val/Val, Val/Met, Met/Met. Распределение частот генотипов изучаемых генов соответствует равновесию Харди-Вайнberга.

Результаты

Характеристики спонтанной электрической активности головного мозга, регистрируемой при решении задач на определение эмоциональной валентности зрительных сцен, у носителей различных генотипов гена COMT

Рассмотрим результаты спектрального анализа, проведенного с группирующей переменной – генотип гена COMT. Полученные по всей выборке разностные спектры были разделены на 3 группы в соответствии с генотипом гена COMT: Val/Val, Val/Met и Met/Met. Между разными группами были проведены попарные сравнения значений, полученных при восприятии сцен определенной валентности (ANOVA). Результаты сравнения разностных спектров представлены в Таблицах 1–3.

Как видно из Таблиц 1, 2, полученные в ходе спектрального анализа различия проявляются при восприятии нейтральных и позитивных сцен и выражаются в более сильном снижении амплитудного спектра в бета диапазоне в теменных и центральных отведениях левого полушария в группе носителей генотипа Met/Met.

Таблица 1

Сравнение разностных спектров при восприятии нейтральных сцен носителями генотипов Val/Met и Met/Met гена COMT

Отведение	Бета-диапазон			Средние значения	
	F-ratio	p-level	η^2	M_{VM}	M_{MM}
FC1	7,446	0,008	0,093	-0,062	-0,242
CP1	10,273	0,002	0,124	-0,153	-0,371
P3	9,369	0,003	0,115	-0,185	-0,388
Pz	8,917	0,003	0,110	-0,206	-0,450
CP3	9,001	0,003	0,111	-0,141	-0,331
P1	9,208	0,003	0,113	-0,188	-0,420
CPP3h	7,616	0,007	0,095	-0,159	-0,360
PPO1h	7,379	0,008	0,093	-0,216	-0,419
FCC1h	6,959	0,010	0,088	-0,070	-0,257
CCP3h	9,836	0,002	0,120	-0,125	-0,337
CPP1h	10,326	0,002	0,125	-0,171	-0,413

Примечание. Здесь и далее показаны только статистически значимые отличия.

Таблица 2

Сравнение разностных спектров при восприятии позитивных сцен носителями генотипов Val/Met и Met/Met гена COMT

Отведение	Бета-диапазон			Средние значения	
	F-ratio	p-level	η^2	M_{VM}	M_{MM}
FC1	7,068	0,009	0,090	-0,022	-0,211
T8	7,324	0,008	0,093	-0,004	-0,121
CP1	7,320	0,008	0,093	-0,087	-0,255
CP6	8,143	0,005	0,102	-0,053	-0,19
P3	6,939	0,010	0,089	-0,118	-0,275
Pz	9,348	0,003	0,116	-0,118	-0,328
CP3	7,273	0,008	0,092	-0,089	-0,238
P1	7,722	0,007	0,098	-0,105	-0,278
PO3	7,776	0,006	0,098	-0,081	-0,262
PPO1h	8,134	0,005	0,102	-0,109	-0,293

Как видно из Таблицы 3, различия между Val/Met и Val/Val менее выражены, затрагивают только дельта диапазон и проявляются при восприятии позитивных сцен в снижении амплитудного спектра у носителей Val/Val и в его повышении (в тех же отведениях) у носителей Val/Met.

Таблица 3

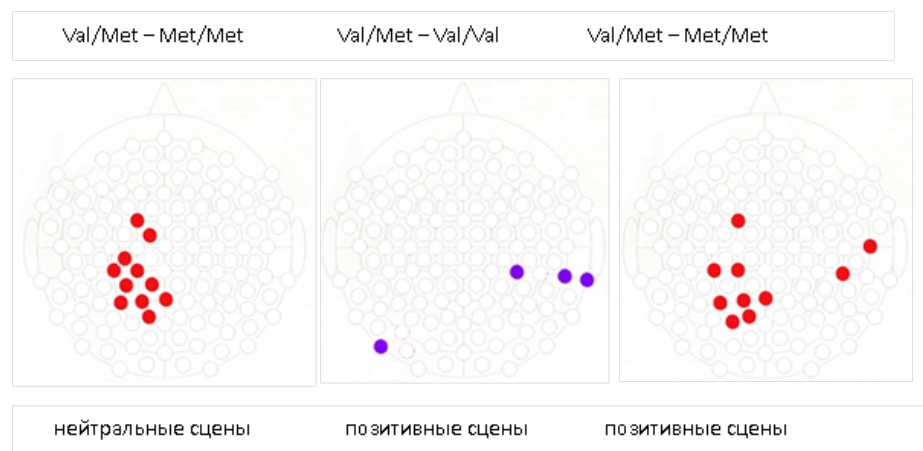
Сравнение разностных спектров при восприятии позитивных сцен носителями генотипов Val/Val и Val/Met гена COMT

Отведение	Дельта-диапазон		Средние значения		
	F-ratio	p-level	η^2	M_{VV}	M_{VM}
TP10	8,865	0,004	0,132	-0,531	0,114
CP4	7,883	0,006	0,119	-0,444	0,191
TP8	9,175	0,003	0,136	-0,583	0,072
PO9	7,616	0,007	0,116	-0,55	0,102

Согласно результатам проведенного анализа, различия в характеристиках спонтанной электрической активности головного мозга, регистрируемой при решении задач на определение эмоциональной валентности зрительных сцен, обнаруживаются между группой с генотипом Val/Met и другими группами при восприятии нейтральных и позитивных сцен. Рисунок 1 демонстрирует, что более существенные отличия наблюдаются между носителями генотипов Val/Met и Met/Met.

Рисунок 1

*Сравнение разницы в амплитудных спектрах между предстимульной и постстимульной ЭЭГ при восприятии сцен разной эмоциональной валентности у носителей разных генотипов гена COMT**



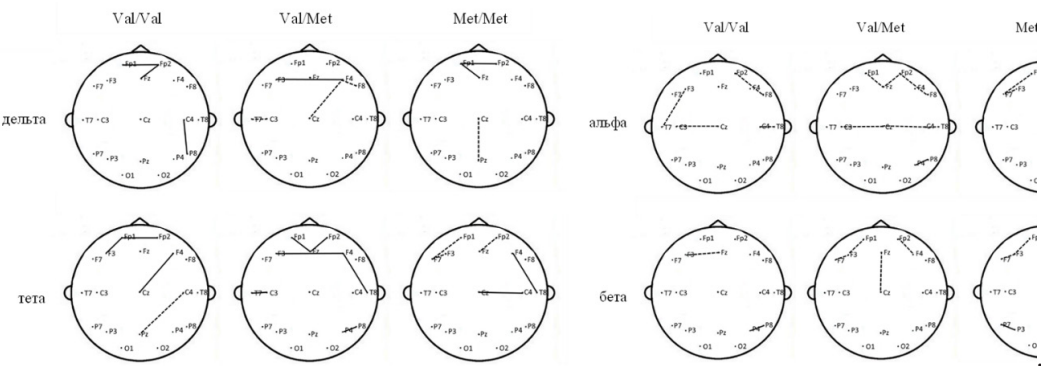
Примечание. *показаны отведения, в которых обнаружены статистически значимые отличия. Слева показаны отведения, в которых наблюдается более сильное снижение спектра в бета-диапазоне у носителей генотипа Met/Met при восприятии нейтральных сцен. В центре показаны отведения, в которых изменения в дельта-диапазоне носят разнонаправленный характер в группах Val/Met (увеличение спектра) и Val/Val (снижение спектра) при восприятии позитивных сцен. Справа показаны отведения, в которых наблюдается более сильное снижение спектра в бета-диапазоне у носителей генотипа Met/Met при восприятии позитивных сцен.

Таким образом, группы носителей гомозиготных генотипов гена COMT Val/Val и Met/Met более сходны между собой по характеру изменений ЭЭГ при переходе от ожидания стимула к анализу зрительных сцен с разной эмоциональной валентностью. Напротив, группа Val/Met отличается по характеристикам ЭЭГ и от группы Val/Val, и от группы Met/Met.

Рассмотрим результаты **когерентного анализа, проведенного с группирующей переменной – генотип гена COMT**. В ходе анализа были построены и сравнены разностные карты когерентности для трех генотипов гена COMT. Следует отметить, что при восприятии негативных сцен (рис. 2) происходит увеличение синхронизации между некоторыми отведениями в группах Val/Val и Val/Met в дельта и тета диапазонах. Во всех остальных случаях наблюдается лишь снижение корреляции спектральной мощности ЭЭГ при переходе от фазы ожидания стимула к его анализу.

Рисунок 2

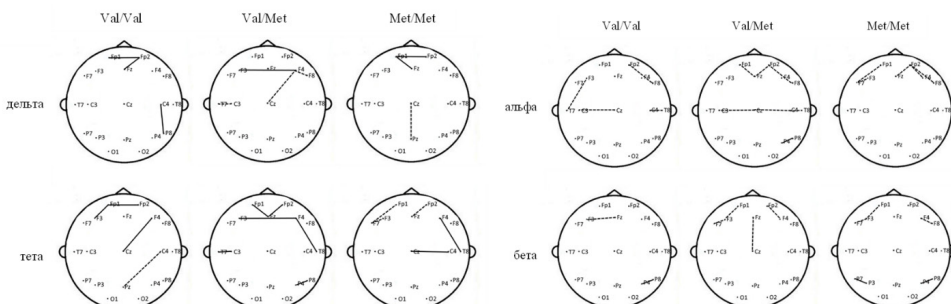
Карты когерентности в виде разницы между картами для предстимульной и постстимульной ЭЭГ в разных частотных диапазонах для носителей разных генотипов гена COMT при восприятии негативных сцен



При восприятии нейтральных сцен (рис. 3) наибольшие различия между генотипами отмечаются в бета диапазоне и проявляются в том, что новые функциональные связи формируются только в группах Val/Val и Met/Met, а в группе Val/Met наблюдается лишь снижение корреляции ЭЭГ между фронтальными отведениями.

Рисунок 3

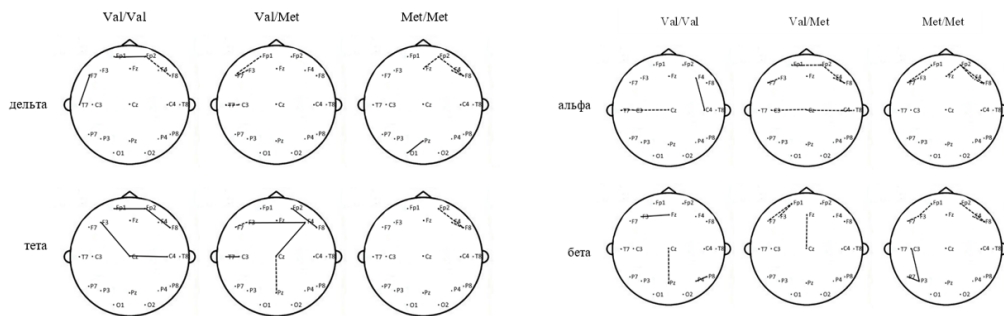
Карты когерентности в виде разницы между картами для предстимульной и постстимульной ЭЭГ в разных частотных диапазонах для носителей разных генотипов гена COMT при восприятии нейтральных сцен



При восприятии позитивных сцен (рис. 4) отличия между группами выявлены не только в бета, но и в дельта диапазоне, и проявляются, как и при анализе нейтральных сцен, в снижении функциональной связности лобных отведений в группе Val/Met в отсутствии формирования новых связей.

Рисунок 4

Карты когерентности в виде разницы между картами для предстимульной и постстимульной ЭЭГ в разных частотных диапазонах для носителей разных генотипов гена COMT при восприятии позитивных сцен



Таким образом, наиболее существенные различия в картах когерентности обнаруживаются между группой Val/Met и другими группами при восприятии нейтральных и позитивных сцен в дельта и бета диапазонах.

Исследование успешности распознавания эмоциональной валентности зрительных сцен у носителей различных генотипов гена COMT

Рассмотрим результаты **анализа поведенческих данных**. Для выполнения поставленной цели нами были изучены особенности распознавания эмоционально окрашенных и нейтральных зрительных сцен у носителей различных генотипов гена COMT. Полученные результаты указывают на то, что полиморфный локус Val158Met гена COMT ассоциирован с оценкой эмоциональной валентности зрительных сцен (табл. 4).

Тест Краскела-Уоллиса (Kruskal-Wallis Test) продемонстрировал значимые различия в успешности распознавания нейтральных сцен носителями разных генотипов гена COMT ($H = 9,1$, $df = 2$, $p = 0,01$). В ходе апостериорного анализа Данна (Dunn's Post Hoc Comparisons) было показано, что хуже всего распознают нейтральные изображения носители гетерозиготного генотипа Val/Met. При этом точность распознавания нейтральных сцен у носителей генотипа Val/Met статистически значимо ниже, чем у носителей генотипа Val/Val ($VM - VV$, $z = -2,798$, $p_{holm} = 0,008$) (рис. 5).

Таблица 4

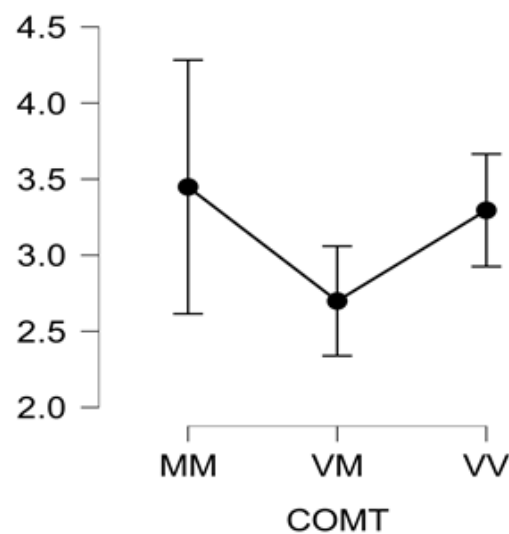
Результаты оценки достоверности различий в чувствительности к эмоциональной валентности предъявляемых зрительных сцен у носителей разных генотипов генов COMT с применением теста Краскела-Уоллеса

Генотипы гена COMT	Общая чувстви- тельность	Сцены		
		Негативные	Нейтраль- ные	Позитивные
Mean ranks for COMT (Val158Met, rs4680)	Val/Met	38,52	40,29	37,37
	Met/Met	45,80	43,98	48,22
	Val/Val	60,91	57,00	60,64
Kruskal- Wallis test	H	7,548	4,051	9,088
	p	0,023*	0,132	0,011*
				0,092

Примечание.* – $p < 0,05$

Рисунок 5

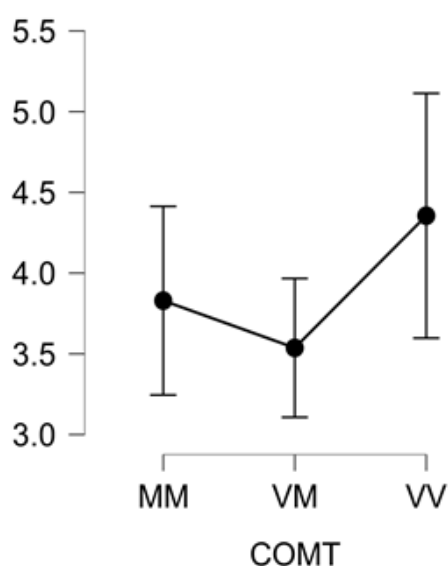
Точность распознавания нейтральных сцен носителями разных генотипов гена COMT. По оси ординат - чувствительность (d'). По оси абсцисс – генотипы по гену COMT: MM – Met/Met, VM – Val/Met, VV – Val/Val.



Значимые различия в группах носителей разных генотипов гена COMT были получены по тесту Краскела-Уоллиса и в отношении чувствительности к эмоциональному содержанию сцен ($H = 7,458$, $df = 2$, $p = 0,02$). Апостериорный анализ Данна показал, что носители генотипа Val/Val в целом лучше других распознают эмоциональную окраску стимулов. Точность распознавания эмоциональной валентности сцен у носителей генотипа Val/Val статистически значимо выше, чем у носителей генотипа Val/Met ($VM - VV$, $z = -2.692$, $p_{holm} = 0,011$) (рис.6).

Рисунок 6

Точность распознавания эмоциональной валентности сцен носителями разных генотипов гена COMT. По оси ординат - чувствительность (d'). По оси абсцисс - генотипы по гену COMT: MM – Met/Met, VM – Val/Met, VV – Val/Val



Обсуждение результатов

Это исследование показало, что полиморфизм Val158Met гена COMT связан с характеристиками разностных амплитудных спектров ритмов ЭЭГ, индуцированных визуальным восприятием эмоционально окрашенных сцен.

Генотип Met/Met гена COMT связан с характеристиками амплитудного спектра в бета диапазоне в теменных и центральных отведениях преимущественно левого полушария: при восприятии нейтральных и позитивных сцен отмечается более сильное снижение спектра, по сравнению с носителями генотипа Val/Met.

Полученные результаты могут быть связаны с более выраженным, по сравнению с носителями одного или двух аллелей Val, изменением функционального состояния

коры головного мозга у носителей гомозиготного минорного генотипа Met/Met гена COMT при оценке данных стимулов, – со снижением фокусировки внимания и степени субъективной значимости стимулов (Никишена и др., 2004).

Генотипы Val/Met и Val/Val гена COMT связаны с характеристиками амплитудного спектра в дельта диапазоне в центрально- и темпорально-париетальном отделе правого полушария, а также в париетально-окципитальном отделе левого полушария: при восприятии позитивных сцен отмечается более сильное снижение спектра у носителей Val/Val и повышение – у носителей Val/Met.

Полученные результаты согласуются и расширяют существующие данные о том, что носители аллеля Met, как правило, успешнее выполняют когнитивные задачи, а уровень активации мозговых структур при когнитивной нагрузке выше у носителей аллелей Val, склонных к гиперактивации (Алфимова, Голимбет, 2011; Barnett et al., 2008). Отсутствие снижения активации (мощности бета-диапазона) при распознавании отрицательных сцен у носителей генотипа Met/Met подтверждается данными Drabant et al. (2006) о связи данного генотипа с выраженным нейронным ответом на неприятные стимулы, проявляющейся в активации различных структур лимбической системы и префронтальной коры, а также в низкой устойчивости носителей аллеля Met к негативному настроению. В работе Wacker & Gatt (2010) показана связь аллеля Val с увеличением дельта/тета Pz–Fz в состоянии покоя. Авторы отмечают, что данные физиологические характеристики могут выступать компонентами дофаминергической основы экстраверсии (the posterior–anterior distribution of resting EEG).

По результатам когерентного анализа выявлено формирование новых функциональных связей в группах носителей генотипов Val/Val и Met/Met гена COMT при восприятии нейтральных сцен – в бета диапазоне, при восприятии позитивных сцен – в бета и дельта диапазонах; в группе Val/Met наблюдается лишь снижение корреляции ЭЭГ между фронтальными отведениями. Полученные результаты свидетельствуют о большей функциональной связности коры головного мозга у носителей гомозиготных генотипов гена COMT, зарегистрированной при выполнении задач на дифференциацию стимулов с разной эмоциональной валентностью, по сравнению с носителями гетерозиготного генотипа, у которых отмечается снижение связности различных областей коры, независимая работа фронтальных отделов при категоризации эмоционально окрашенных и нейтральных сцен.

Результаты, полученные в данном исследовании, отличаются от результатов, полученных в исследованиях Liu et al. (2010), Wang et al. (2015): авторы обнаружили, что носители гетерозиготного генотипа имеют более сильную связь, чем носители гомозиготного генотипа Val/Val, между вентромедиальным и переднемедиальным ядрами префронтальной коры, задней поясной корой, ретроспленальной и правой нижней височной корой, а также поясной корой, при этом различий относительно коннективности в области стриатума и первичной зрительной коры между

носителями доминантного гомозиготного и гетерозиготного генотипов выявлено не было. Dang et al. (2013) подтвердили наличие большей функциональной связности между медиальной префронтальной корой и остальными структурами дефолтной системы мозга (medial PFC with the rest of the DMN) у носителей гетерозиготного генотипа. Ряд исследований подтверждает результаты о более выраженной связности между префронтальными отделами коры и структурами лимбической и стриопаллидарной систем у носителей гетерозиготного генотипа (Wang et al., 2018).

В то же время, в исследовании Lee et al. (2011) показано, что наибольшая функциональная связность лево-латерализованной сети нейронов в дельта/тета-диапазонах частот выявлена у носителей генотипа Val/Val; каждый аллель Met снижал показатели связности. В исследовании Damoiseaux et al. (2016) было получено, что функциональная связность (functional connectivity) между задним гиппокампом и задней поясной извилиной, а также ретросплениальной корой была значительно больше у носителей одного и двух аллелей Met, по сравнению с носителями генотипа Val/Val.

Таким образом, на сегодняшний день существуют разрозненные данные относительно ассоциации гомо- и гетерозиготных генотипов гена COMT с функциональной связностью. В систематическом обзоре, включающем анализ 35 исследований функциональной связности у носителей различных генотипов гена COMT, Morris et al. (2020) была обнаружена общая тенденция к ассоциации аллеля Val с большей функциональной связностью в состоянии покоя, а аллеля Met – с большей функциональной связностью во время выполнения различных задач, связанных с обработкой эмоционально окрашенных стимулов, с активизацией различных видов памяти (в том числе, оперативной) и исполнительных функций в целом, с обучением, основанным на вознаграждении. Таким образом, специфичность полученных нами результатов может быть объяснена особенностями распознаваемых стимулов (эмоционально окрашенных и нейтральных сцен), и расширяет представления о функциональной связности между различными структурами мозга носителей различных генотипов гена COMT при выполнении разных задач.

В ходе данного исследования нами выявлено, что сниженная точность категоризации зрительных сцен по эмоциональной валентности у носителей генотипа Val/Met гена COMT сопровождается менее выраженными изменениями амплитудного спектра в дельта и бета диапазонах ЭЭГ при переходе от ожидания стимула к его анализу, а также различиями в характере когерентных связей в этих же частотных диапазонах.

Выявленные различия могут быть также связаны с регулируемой геном COMT длительностью пребыванияmonoаминов в синаптическом пространстве. Для носителей аллелей Met характерно более длительное пребывание monoаминов в синаптической щели (Chen et al., 2004; Lotta et al., 1995) и увеличенное содержание в коре дофамина (Zareyan et al., 2021). В то же время большая чувствительность носителей генотипа Val/Val гена COMT к эмоциональному содержанию зрительных

сцен может быть связана с более быстрым распадом моноаминов (в том числе дофамина) в синаптическом пространстве, с более низкой концентрацией дофамина в префронтальной коре. В ряде исследований было получено, что аллель Met гена COMT в группе здоровых людей ассоциирован с большей эффективностью исполнительных функций (Barnett et al., 2007), в том числе, с большей производительностью оперативной памяти (Weinberger & Scarabino, 2006), в то время как аллель Val связан преимущественно с обработкой эмоционально окрашенной информации (Mier et al., 2010).

Новизна полученных данных заключается в том, что впервые описаны спектральные, когерентные характеристики спонтанной электрической активности головного мозга, регистрируемой при решении задач на определение эмоциональной валентности зрительных сцен, у носителей различных генотипов гена катехол-О-метилтрансферазы COMT; проанализированы поведенческие данные: описана точность распознавания эмоционально окрашенных и нейтральных зрительных сцен.

Результаты исследования расширяют понимание роли гена COMT в процессе оценки эмоциональной валентности зрительных сцен посредством описания их электрофизиологических и поведенческих коррелятов.

Заключение

1. Выявлены значимые различия в амплитудных спектрах предстимульной и постстимульной ЭЭГ у носителей различных генотипов гена COMT: группа Val/Met COMT достоверно отличается по характеру изменений ЭЭГ при переходе от ожидания стимула к анализу зрительных сцен с разной эмоциональной валентностью и от группы Val/Val COMT, и от группы Met/Met COMT (в группе Met/Met, по сравнению с группой Val/Met COMT, при восприятии нейтральных, и позитивных сцен отмечается более сильное снижение амплитудного спектра в бета диапазоне в теменных и центральных отведениях левого полушария).
2. При восприятии позитивных сцен отмечено снижение амплитудного спектра в дельта диапазоне в теменных и центральных отведениях левого полушария у носителей Val/Val COMT, по сравнению с носителями генотипа Val/Met COMT, и его повышение (в тех же отведениях) у носителей Val/Met COMT.
3. Обнаружено, что полиморфизм Val158Met гена COMT ассоциирован с точностью оценки эмоциональной валентности зрительных сцен. Носители генотипа Val/Val успешнее распознают эмоциональную окраску данных стимулов.

Литература

- Ahmed, M. Z. I., Sinha, N., Ghaderpour, E., Phadikar, S., & Ghosh, R. (2023). A novel baseline removal paradigm for subject-independent features in emotion classification using EEG. *Bioengineering*, 10(1), 54.

- Alakus, T. B., Gonen, M., & Turkoglu, I. (2020). Database for an emotion recognition system based on EEG signals and various computer games—GAMEEMO. *Biomedical Signal Processing and Control*, 60, 101951.
- Arnsten, A. F., Wang, M., & Paspalas, C. D. (2015). Dopamine's actions in primate prefrontal cortex: Challenges for treating cognitive disorders. *Pharmacological Reviews*, 67, 681–696. <https://doi.org/10.1124/pr.115.010512>
- Babenko, V. V., Alekseeva, D. S., Yavna, D. V., Denisova, E. G., Kovsh, E. M., Ermakov, P. N. (2022). Recognition of Facial Expressions Based on Information From the Areas of Highest Increase in Luminance Contrast. *International Journal of Cognitive Research in Science, Engineering and Education*, 10(3), 37–51. <https://doi.org/10.23947/2334-8496-2022-10-3-37-51>
- Barnett, J. H., Jones, P. B., Robbins, T. W., & Müller, U. (2007). Effects of the catechol-O-methyltransferase Val158Met polymorphism on executive function: a meta-analysis of the Wisconsin Card Sort Test in schizophrenia and healthy controls. *Molecular Psychiatry*, 12(5), 502. <https://doi.org/10.1038/sj.mp.4001973>
- Barnett, J. H., Scorielis, L., & Munafò, M. R. (2008). Meta-analysis of the cognitive effects of the catechol-O-methyltransferase gene Val158/108Met polymorphism. *Biological psychiatry*, 64(2), 137–144.
- Chen, J., Lipska, B. K., Halim, N., Ma, Q. D., Matsumoto, M., Melhem, S., ... & Weinberger, D. R. (2004). Functional analysis of genetic variation in catechol-O-methyltransferase (COMT): effects on mRNA, protein, and enzyme activity in postmortem human brain. *The American Journal of Human Genetics*, 75(5), 807–821.
- Damoiseaux, J. S., Viviano, R. P., Yuan, P., & Raz, N. (2016). Differential effect of age on posterior and anterior hippocampal functional connectivity. *NeuroImage*, 133, 468–476. <https://doi.org/10.1016/j.neuroimage.2016.03.047>
- Dang, L. C., O'Neil, J. P., & Jagust, W. J. (2013). Genetic effects on behavior are mediated by neurotransmitters and large-scale neural networks. *NeuroImage*, 66, 203–214. <https://doi.org/10.1016/j.neuroimage.2012.10.090>
- Drabant, E. M., Hariri, A. R., Meyer-Lindenberg, A., Munoz, K. E., Mattay, V. S., Kolachana, B. S., ... & Weinberger, D. R. (2006). Catechol O-methyltransferase val158met genotype and neural mechanisms related to affective arousal and regulation. *Archives of General Psychiatry*, 63(12), 1396–1406. <https://doi.org/10.1001/archpsyc.63.12.1396>
- Ermakov, P. N., Vorobyeva, E. V., Denisova, E. G., Yavna, D. V., Babenko, V. V., Kovsh, E. M., & Alekseeva, D. S. (2022). Recognition of Emotional and Neutral Visual Scenes in Carriers of the MAOA, COMT, DRD4, and 5HT2A Gene Polymorphisms. *Psychology in Russia*, 15(4), 159. doi: 10.11621/pir.2022.0410
- Frantzidis, C. A., Bratsas, C., Papadelis, C. L., Konstantinidis, E., Pappas, C., & Bamidis, P. D. (2010). Toward emotion aware computing: an integrated approach using multichannel neurophysiological recordings and affective visual stimuli. *IEEE transactions on Information Technology in Biomedicine*, 14(3), 589–597.
- Jacobs, E., & D'Esposito, M. (2011). Estrogen shapes dopamine-dependent cognitive processes: Implications for women's health. *Journal of Neuroscience*, 31, 5286–5293. <https://doi.org/10.1523/JNEUROSCI.6394-10.2011>
- Katsigiannis, S., & Ramzan, N. (2017). DREAMER: A database for emotion recognition through EEG and ECG signals from wireless low-cost off-the-shelf devices. *IEEE journal of biomedical and health informatics*, 22(1), 98–107.
- Koelstra, S., Muhl, C., Soleymani, M., Lee, J. S., Yazdani, A., Ebrahimi, T., ... & Patras, I. (2011). Deap: A database for emotion analysis; using physiological signals. *IEEE transactions on affective computing*, 3(1), 18–31.
- Lee, T. W., Yu, Y. W., Hong, C. J., Tsai, S. J., Wu, H. C., & Chen, T. J. (2011). The effects of catechol-O-methyl-transferase polymorphism Val158Met on functional connectivity in healthy young females: A resting EEG study. *Brain Research*, 1377, 21–31. <https://doi.org/10.1016/j.brainres.2010.12.073>

- Liu, B., Song, M., Li, J., Liu, Y., Li, K., Yu, C., & Jiang, T. (2010). Prefrontal-related functional connectivities within the default network are modulated by COMT val158met in healthy young adults. *The Journal of Neuroscience*, 30, 64–69. <https://doi.org/10.1523/JNEUROSCI.3941-09.2010>
- Liu, J., Wu, G., Luo, Y., Qiu, S., Yang, S., Li, W., & Bi, Y. (2020). EEG-based emotion classification using a deep neural network and sparse autoencoder. *Frontiers in Systems Neuroscience*, 14, 43.
- Lotta, T., Vidgren, J., Tilgmann, C., Ulmanen, I., Melen, K., Julkunen, I., & Taskinen, J. (1995). Kinetics of human soluble and membrane-bound catechol O-methyltransferase: a revised mechanism and description of the thermolabile variant of the enzyme. *Biochemistry*, 34(13), 4202–4210.
- Louis, C. C., Jacobs, E., D'Esposito, M., & Moser, J. (2023). Estradiol and the Catechol-o-methyltransferase Gene Interact to Predict Working Memory Performance: A Replication and Extension. *Journal of Cognitive Neuroscience*, 35(7), 1144–1153.
- Mier, D., Kirsch, P., & Meyer-Lindenberg, A. (2010). Neural substrates of pleiotropic action of genetic variation in COMT: a meta-analysis [Article]. *Molecular Psychiatry*, 15(9), 918–927. <https://doi.org/10.1038/mp.2009.36>
- Morris, K. A., Grace, S. A., Woods, W., Dean, B., & Rossell, S. L. (2020). The influence of COMT rs4680 on functional connectivity in healthy adults: A systematic review. *European Journal of Neuroscience*, 52(8), 3851–3878. <https://doi.org/10.1111/ejn.14748>
- Park, C. Y., Cha, N., Kang, S., Kim, A., Khandoker, A. H., Hadjileontiadis, L., ... & Lee, U. (2020). K-EmoCon, a multimodal sensor dataset for continuous emotion recognition in naturalistic conversations. *Scientific Data*, 7(1), 293. <https://doi.org/10.5281/zenodo.3762962>
- Prins, N., Kingdom, F. A. (2018). Applying the model-comparison approach to test specific research hypotheses in psychophysical research using the Palamedes toolbox. *Frontiers in psychology*, 9, 1250. <https://doi.org/10.3389/fpsyg.2018.01250>
- Schiller, B., Sperl, M. F., Kleinert, T., Nash, K., & Gianotti, L. R. (2023). EEG microstates in social and affective neuroscience. *Brain topography*, 1–17. <https://doi.org/10.1007/s10548-023-00987-4>
- Seal, A., Reddy, P. P. N., Chaithanya, P., Meghana, A., Jahnavi, K., Krejcar, O., & Hudak, R. (2020). An EEG database and its initial benchmark emotion classification performance. *Computational and mathematical methods in medicine*, 2020(1), 8303465. <https://doi.org/10.1155/2020/8303465>
- Subramanian, R., Wache, J., Abadi, M. K., Vieriu, R. L., Winkler, S., & Sebe, N. (2016). ASCERTAIN: Emotion and personality recognition using commercial sensors. *IEEE Transactions on Affective Computing*, 9(2), 147–160. <https://doi.org/10.1109/TAFFC.2016.2625250>
- Tunbridge, E. M., Harrison, P. J., & Weinberger, D. R. (2006). Catechol-o-methyltransferase, cognition, and psychosis: Val158Met and beyond. *Biological Psychiatry*, 60, 141–151. <https://doi.org/10.1016/j.biopsych.2005.10.024>
- Tunbridge, E. M., Narajos, M., Harrison, C. H., Beresford, C., Cipriani, A., & Harrison, P. J. (2019). Which dopamine polymorphisms are functional? Systematic review and meta-analysis of COMT, DAT, DBH, DDC, DRD1–5, MAOA, MAOB, TH, VMAT1, and VMAT2. *Biological Psychiatry*, 86(8), 608–620.
- Wacker, J., & Gatt, J. M. (2010). Resting posterior versus frontal delta/theta EEG activity is associated with extraversion and the COMT VAL158MET polymorphism. *Neuroscience Letters*, 478(2), 88–92. <https://doi.org/10.1016/j.neulet.2010.04.071>
- Wang, H., Zhang, B., Zeng, B., Tang, Y., Zhang, T., Zhao, S., ... Goff, D. C. (2018). Association between catechol-O-methyltransferase genetic variation and functional connectivity in patients with first-episode schizophrenia. *Schizophrenia Research*, 199, 214–220. <https://doi.org/10.1016/j.schres.2018.04.023>
- Wang, X.-H., Li, L., Xu, T., & Ding, Z. (2015). Investigating the temporal patterns within and between intrinsic connectivity networks under eyes-open and eyes-closed resting states: A dynamical functional connectivity study based on phase synchronization. *PLoS ONE*, 10, e0140300. <https://doi.org/10.1371/journal.pone.0140300>

- Weinberger, D. R., & Scarabino, T. (2006). Prefrontal-Hippocampal Coupling During Memory Processing Is Modulated by COMT Val158Met Genotype [Article]. *Biological Psychiatry*, 60(11), 1250–1258. <https://doi.org/10.1016/j.biopsych.2006.03.078>
- Xiao, J., Hays, J., Ehinger, K. A., Oliva, A., & Torralba, A. (2010, June). Sun database: Large-scale scene recognition from abbey to zoo. In 2010 IEEE computer society conference on computer vision and pattern recognition (pp. 3485–3492). IEEE.
- Zareyan, S., Zhang, H., Wang, J., Song, W., Hampson, E., Abbott, D., & Diamond, A. (2021). First demonstration of double dissociation between COMT-Met158 and COMT-Val158 cognitive performance when stressed and when calmer. *Cerebral Cortex*, 31(3), 1411–1426. <https://doi.org/10.1093/cercor/bhaa276>
- Алфимова, М. В., & Голимбет, В. Е. (2011). Гены и нейрофизиологические показатели когнитивных процессов: обзор исследований. *Журнал высшей нервной деятельности им. И. П. Павлова*, 61(4), 389–401.
- Лапин, И. А., & Алфимова, М. В. (2014). ЭЭГ-маркеры депрессивных состояний. *Социальная и клиническая психиатрия*, 24(4), 81–89.
- Никишена, И. С., Кропотов, Ю. Д., Пономарев, В. А., Гринь-Яценко, В. А., Яковенко, Е. А., & Белякова, Е. Н. (2004). Динамика спектров мощности и когерентности ЭЭГ в ходе курса бета1-тренинга у детей с нарушениями внимания. *Сибирский научный медицинский журнал*, (3), 74–80.

Поступила в редакцию: 01.06.2024

Поступила после рецензирования: 15.07.2024

Принята к публикации: 12.08.2024

Заявленный вклад авторов

Екатерина Михайловна Ковш – анализ и обобщение данных литературы; аккумулирование исследовательских данных (регистрация ЭЭГ, забор биоматериала для генетических проб, поведенческое исследование), обобщение результатов исследования; формулировка выводов; интерпретация результатов исследования; написание текста рукописи.

Виталий Вадимович Бабенко – разработка методологии исследования; планирование этапов исследования, критический пересмотр текста рукописи.

Александр Сергеевич Столетний – анализ и систематизация экспериментальных данных; применение статистических, математических методов для анализа данных; работа с графическим материалом.

Павел Николаевич Ермаков – обоснование концепции исследования (формулирование идеи, исследовательских целей и задач); создание модели исследования.

Денис Викторович Явна – разработка дизайна экспериментального исследования; анализ и систематизация экспериментальных данных; применение статистических, математических методов для анализа данных.

Екатерина Геннадьевна Денисова – аккумулирование исследовательских данных (регистрация ЭЭГ, забор биоматериала для генетических проб, поведенческое исследование), обобщение результатов исследования; редактирование текста рукописи.

Константин Алексеевич Гапченко – аккумулирование исследовательских данных,
Сбор данных литературы.

Информация об авторах

Екатерина Михайловна Ковш – кандидат психологических наук, доцент, Южный
федеральный университет, Ростов-на-Дону, Российская Федерация; Scopus Author
ID: 57202393992; WoS Researcher ID: C-6952-2017; SPIN-код РИНЦ: 4741-3217; ORCID
ID: <https://orcid.org/0000-0002-5804-5688>; e-mail: emkovsh@sfedu.ru

Виталий Вадимович Бабенко – доктор биологических наук, профессор, Южный
федеральный университет, Ростов-на-Дону, Российская Федерация; Scopus Author
ID: [7101752217](https://orcid.org/0000-0002-3750-1277); WoS Researcher ID: B-1507-2013; SPIN-код РИНЦ: 1028-0613; ORCID
ID: <https://orcid.org/0000-0002-3750-1277>; e-mail: babenko@sfedu.ru

Александр Сергеевич Столетний – кандидат психологических наук, доцент, Южный
федеральный университет, Ростов-на-Дону, Российская Федерация; Scopus Author
ID: [56801819200](https://orcid.org/0000-0001-7955-8696); WoS Researcher ID: AAB-6584-2020; SPIN-код РИНЦ: 8999-6214;
ORCID ID: <https://orcid.org/0000-0001-7955-8696>; e-mail: asstoletniy@sfedu.ru

Павел Николаевич Ермаков – доктор биологических наук, профессор, Южный
федеральный университет, Ростов-на-Дону, Российская Федерация; Scopus Author
ID: [6602450914](https://orcid.org/0000-0001-8395-2426); WoS Researcher ID: [B-3040-2016](https://orcid.org/0000-0001-8395-2426); SPIN-код РИНЦ: 7706-9441; ORCID
ID: <https://orcid.org/0000-0001-8395-2426>; e-mail: paver@sfedu.ru

Денис Викторович Явна – кандидат психологических наук, доцент, Южный
федеральный университет, Ростов-на-Дону, Российская Федерация; Scopus Author
ID: [56034231500](https://orcid.org/0000-0003-2895-5119); WoS Researcher ID: [B-1314-2013](https://orcid.org/0000-0003-2895-5119); SPIN-код РИНЦ: 3357-7716; ORCID
ID: <https://orcid.org/0000-0003-2895-5119>; e-mail: dvyavna@sfedu.ru

Екатерина Геннадьевна Денисова – кандидат психологических наук, доцент,
Донской государственный технический университет, Ростов-на-Дону, Российская
Федерация; Scopus Author ID: [57221193371](https://orcid.org/0000-0003-0240-8176); WoS Researcher ID: [A-5252-2016](https://orcid.org/0000-0003-0240-8176); SPIN-
код РИНЦ: 3389-8667; ORCID ID: <https://orcid.org/0000-0003-0240-8176>; e-mail:
denisovakeith@gmail.com

Константин Алексеевич Гапченко – студент, Южный федеральный университет,
Ростов-на-Дону, Российская Федерация; SPIN-код РИНЦ: 1451-0597; e-mail:
kgapchenko@sfedu.ru

Информация о конфликте интересов

Авторы заявляют об отсутствии конфликта интересов.